

نقشه‌برداری و مکان‌یابی همزمان با استفاده از داده لیزر و روش نقشه‌برداری سریع بدون ردیابی با انطباق پویشی

مرضیه زمانی علویجه^۱، شهرام هادیان جزی^{۲*}

۱- دانشجوی کارشناسی ارشد، مهندسی مکاترونیک، دانشگاه اصفهان، اصفهان
۲- استادیار، مهندسی مکانیک، دانشگاه اصفهان، اصفهان
* اصفهان، صندوق پستی 8174673441

چکیده

مکان‌یابی و نقشه‌برداری همزمان یکی از مسائل بنیادی در رباتیک است و تاکنون الگوریتم‌های بسیاری از جمله الگوریتم نقشه‌برداری سریع که بسیار پرکاربرد است و الگوریتم نقشه‌برداری سریع بدون ردیابی که جدیدتر است، برای حل این مسئله به کار گرفته شده‌اند. اگرچه در مقایسه‌های علمی، عملکرد این الگوریتم بهتر از الگوریتم سریع ارزیابی شده است، هنوز ظرفیت‌های بررسی نشده زیادی در رابطه با این الگوریتم وجود دارد. لذا در این مقاله به موضوع ارایه اصلاحات برای بهبود الگوریتم سریع بدون ردیابی و بررسی عملکرد آن پرداخته شده است. یکی از راه‌های افزایش دقت تخمین موضع ربات، مقایسه و تطبیق دو اندازه‌گیری متوازنی و اصلاح موضع ربات بهنحوی که بهترین تطبیق میان دو اندازه‌گیری برقرار شود، است. این روش که انطباق پویشی نامیده می‌شود برای بهبود عملکرد الگوریتم‌ها موثر بوده ولی تاکنون برای الگوریتم سریع بدون ردیابی مورد آزمون قرار نگرفته است. در این مقاله برای اولین بار از ترکیب الگوریتم سریع بدون ردیابی با انطباق پویشی برای مکان‌یابی و نقشه‌برداری همزمان استفاده می‌شود. برای ارزیابی تاثیر انطباق پویشی، این الگوریتم روی دو مجموعه داده لیزر به دست آمده در محیط شبیه‌سازی و آزمایش‌های عمایی، پیاده‌سازی و نتایج با حالت بدون انطباق پویشی مقایسه می‌شوند. نتایج مقایسه نشان می‌دهند که افزودن انطباق پویشی به الگوریتم سریع بدون ردیابی، دقت تخمین مسیر و دقت نقشه را به مقدار قابل ملاحظه‌ای بهبود می‌دهد. همچنین با بهبود سرعت الگوریتم انطباق داده، زمان اضافی لازم برای انجام انطباق پویشی جبران شده و سرعت کلی الگوریتم سریع بدون ردیابی بهبود یافت.

اطلاعات مقاله

مقاله پژوهشی کامل	1394
دریافت: 19 بهمن	1394
پذیرش: 30 اردیبهشت	1395
ارائه در سایت: 02 تیر	1395
کلید واژگان:	
مکان‌یابی و نقشه‌برداری همزمان	
الگوریتم سریع بدون ردیابی	
لیزر	
انطباق پویشی	

Simultaneous Localization and Mapping Using Laser Data and Unscented FastSLAM with Scan Matching

Marzieh Zamani Alavijeh, Shahram Hadian Jazi*

Department of Mechanical Engineering, University of Isfahan, Isfahan, Iran.
* P.O.B. 8174673441, Isfahan, Iran, s.hadian@eng.ui.ac.ir

ARTICLE INFORMATION

Original Research Paper
Received 08 February 2016
Accepted 19 May 2016
Available Online 22 June 2016

Keywords:
Simultaneous localization and mapping
Unscented FastSLAM algorithm
Laser
Scan Matching

ABSTRACT

Simultaneous localization and mapping (SLAM) is a fundamental problem in autonomous robotics. Many algorithms have been exploited to solve this problem, among these algorithms, FastSLAM is one of the most widely used and Unscented FastSLAM is one of the newest. Although in several scientific researches it is stated that Unscented FastSLAM outperforms FastSLAM, there are still unexamined potentials regarding Unscented FastSLAM. Therefore, this paper seeks to improve the overall performance of Unscented FastSLAM. Map accuracy and quality directly depend on the accuracy of localization and observations. In SLAM algorithms, robot pose is predicted using motion model, and then corrected using the difference between map features and recently observed features. Accuracy of pose estimation may improve by comparing two sequential observations and modifying robot pose to result in best match between them. This method is called scan matching and has been successfully combined with FastSLAM algorithm and some other SLAM algorithms not including Unscented FastSLAM. Therefore, this paper seeks to investigate the performance of Unscented FastSLAM combined with scan matching. Simulation results show that combining Unscented FastSLAM with scan match significantly improves accuracy of localization and mapping.

- مقدمه

به خصوص مکان‌یابی و نقشه‌برداری همزمان^۱ از محیط صورت گرفته است. در سال 1985 یکی از اولین تلاش‌ها برای انجام مکان‌یابی و نقشه‌برداری به صورت همزمان با استفاده از حسگر پویشگر لیزری و شفت انکودر و با توجه به عدم قطعیت‌های موجود در مسئله توسط چتیلا و همکارانش صورت گرفت

به دست آوردن مدل فیزیکی و تهیه نقشه محیط اطراف یکی از مسایل مهم و اساسی در رباتیک است و کاربردهای بسیاری از قبیل هدایت خودکار ربات، ردیابی و تشخیص اجسام و اشخاص و انجام عملیات جستجو و نجات دارد. طی ده سال گذشته پیشرفت چشمگیری در زمینه هدایت خودکار ربات و

¹ Simultaneous localization and mapping (SLAM)

در الگوریتم‌های مکان‌یابی و نقشهبرداری هم‌زمان موضع لحظه‌ای ربات با استفاده از مدل حرکت پیش‌بینی شده و سپس با استفاده از تفاوت ویژگی‌های ثبت شده در نقشه و ویژگی‌هایی که به تازگی مشاهده شده‌اند، اصلاح می‌شود. یکی از راه‌های افزایش دقت تخمین موضع ربات، مقایسه و تطبیق دو اندازه‌گیری متواالی و اصلاح موضع ربات بهترین تطابق میان دو اندازه‌گیری برقرار شود، است. این روش که انطباق پویشی⁸ نامیده می‌شود برای بهبود عملکرد الگوریتم‌های مکان‌یابی و نقشهبرداری هم‌زمان نظیر نقشهبرداری سریع موثر بوده است [9].

نتایج یک تحقیق نشان می‌دهد که انطباق پویشی می‌تواند برای مکان‌یابی با دقت مناسب حتی در محیط ۳ بعدی مورد استفاده قرار گیرد [10]. همچنین در [11] از ترکیب انطباق پویشی و روش نقشهبرداری سریع با اولویت مکان‌یابی نسبت به نقشهبرداری برای پردازش داده لیزر استفاده شده و نتایج نشان‌دهنده بهبود مکان‌یابی بودند. در [12] یک روش هدایت سریع ربات ارایه شده که نقاط به دست آمده از هر پویش را ابتدا در سلول‌های نقشه شبکه‌بندی تصویر کرده و سپس مکان‌یابی دقیق به کمک الگوریتم انطباق پویشی انجام می‌شود. در [13] روش انطباق پویشی بهبود داده شده و برای پردازش این نقطه ۳ بعدی مورد استفاده قرار گرفته است.

با وجود تاثیر انطباق پویشی در افزایش دقت مکان‌یابی، این روش تاکنون به همراه نقشهبرداری سریع بدون ریدیابی مورد آزمون قرار نگرفته است. در این مقاله برای اولین بار از ترکیب روش نقشهبرداری سریع بدون ریدیابی با انطباق پویشی برای مکان‌یابی و نقشهبرداری هم‌زمان استفاده می‌شود. برای ارزیابی تاثیر انطباق پویشی بر عملکرد نقشهبرداری سریع بدون ریدیابی، این الگوریتم روی دو مجموعه داده لیزر به دست آمده در محیط شبیه‌سازی و همچنین در آزمایش عملی، پیاده‌سازی و نتایج آن با الگوریتم نقشهبرداری سریع بدون ریدیابی اولیه (بدون انطباق پویشی) مقایسه می‌شوند. نتایج مقایسه نشان می‌دهند که افزودن انطباق پویشی به الگوریتم نقشهبرداری سریع بدون ریدیابی، دقت تخمین مسیر و دقت نقشه را به مقدار قابل ملاحظه‌ای بهبود می‌دهد. همچنین با بهبود سرعت الگوریتم انطباق داده، زمان اضافی لازم برای انجام انطباق پویشی جبران شده و سرعت کلی الگوریتم نقشهبرداری سریع بدون ریدیابی نیز بهبود می‌یابد.

2- ترکیب انطباق پویشی با نقشهبرداری سریع بدون ریدیابی

الگوریتم تکارشونده نزدیک‌ترین نقطه⁹، یکی از بهترین روش‌های انطباق پویشی برای همتراز کردن دو مجموعه نقطه است و کاربرد زیادی در اصلاح موقعیت ربات با بهره‌گیری از مقایسه و انطباق دو پویش متواالی دارد. این الگوریتم با دو مجموعه نقطه و یک حدس اولیه برای انتقال بین آن‌ها آغاز می‌شود، سپس انتقال مکررا با استخراج نقاط متناظر بین دو مجموعه و محاسبه خطای اختلاف این نقاط تصحیح می‌شود. برای تعیین حدس اولیه گزینه‌های متنوعی وجود دارد: مقادیر تصادفی، ریدیابی مکان حسگر، جستجو برای نقاط متناظر بدون اعمال انتقال اولیه و یا گرفتن ورودی از کاربر. در این مقاله الگوریتم تکارشونده نزدیک‌ترین نقطه که در [14] معرفی شده و کد آن توسط میان پیاده‌سازی شده [16,15]، به عنوان الگوریتم و کد مینا مورد استفاده و بازنویسی قرار گرفته است. در این مقاله الگوریتم مکان حسگر که با استفاده از مدل حرکت ریدیابی می‌شود و جایجایی حسگر به عنوان انتقال اولیه مورد استفاده قرار می‌گیرد.

⁸ Scan Matching
⁹ Iterative closest point (ICP)

[1]. در سال ۱۹۹۰ اسمیت و همکارانش برای اولین بار با استفاده از مشخصه‌های محیط به نقشهبرداری پرداختند و از فیلتر کالمن¹ برای حل مسئله استفاده کردند [2].

در دهه گذشته تمرکز بسیاری از محققان بر روی یافتن راه حل‌های مناسب برای مکان‌یابی و نقشهبرداری هم‌زمان در زمان واقعی بوده است. در این میان محبوب‌ترین روش‌ها برای مسئله مکان‌یابی و نقشهبرداری هم‌زمان فیلتر کالمن توسعه‌یافته² [3] و فیلتر ذره راؤ-بلکولایزد³ بوده‌اند [4]. فیلتر کالمن توسعه‌یافته از تقریب خطی استفاده می‌کند و فرض می‌کند که تابع چگالی احتمال توزیع گوسی دارد. اما در تحقیقات مختلفی ثابت شده است که نقشه به دست آمده به این روش بهدلیل خطا ناشی از خطی‌سازی چندان دقیق نیست و همچنین پیچیدگی محاسباتی این روش زیاد است و در زمان واقعی قابل اجرا نیست. تحقیقات بسیاری برای بطرف کردن این مشکلات صورت گرفته است.

در تلاش برای افزایش دقت مکان‌یابی و نقشهبرداری هم‌زمان، فیلتر کالمن جدیدی تحت عنوان فیلتر کالمن ریدیابی‌نشده⁴ معرفی شد که از تقریب خطی استفاده نمی‌کرد [5]. فیلتر کالمن ریدیابی‌نشده از یک روش قطعی نمونه‌برداری استفاده می‌کند که متوسط و کواریانس تخمین‌ها را به دست می‌آورد. فیلتر کالمن ریدیابی‌نشده به جای تابع غیرخطی سیستم، تابع چگالی احتمال را تخمین می‌زند و هرچقدر میزان غیرخطی بودن سیستم بیشتر باشد تخمین قابل اطمینان تری نسبت به فیلتر کالمن توسعه‌یافته ارایه می‌دهد اما پیچیدگی محاسباتی آن مشابه فیلتر کالمن توسعه‌یافته است. از طرف دیگر الگوریتم مکان‌یابی و نقشهبرداری هم‌زمان سریع⁵، که از این به بعد به اختصار نقشهبرداری سریع نامیده می‌شود، با بهره‌گیری هم‌زمان فیلتر ذره و فیلتر کالمن توسعه‌یافته و فیلتر کالمن ریدیابی‌نشده کاهش می‌دهد [6]. در نهایت الگوریتم مکان‌یابی و نقشهبرداری هم‌زمان سریع برمبنای فیلتر کالمن ریدیابی‌نشده تحت عنوان مکان‌یابی و نقشهبرداری هم‌زمان سریع بدون ریدیابی⁶، که از این به بعد به اختصار نقشهبرداری سریع بدون ریدیابی نامیده می‌شود، به عنوان یکی از جدیدترین روش‌های مطرح شده در زمینه مکان‌یابی و نقشهبرداری هم‌زمان با بهره‌گیری از تخمین قابل اطمینان فیلتر کالمن ریدیابی‌نشده، دقت را افزایش و حجم محاسبات را کاهش می‌دهد [7]. نشان داده شده است که نقشهبرداری سریع بدون ریدیابی در مقایسه با روش‌های نقشهبرداری سریع فیلتر کالمن توسعه‌یافته و نقشهبرداری سریع⁷ از نظر دقت و کیفیت نقشهبرداری مطلوب‌تری دارد [8]. با وجود این برتری، هنوز ظرفیت‌های برسی نشده زیادی در رابطه با الگوریتم نقشهبرداری سریع بدون ریدیابی وجود دارد.

مکان‌یابی و نقشهبرداری کاملاً به هم وابسته هستند. به این معنا که برای یافتن مکان دقیق ربات در یک محیط، نقشه صحیحی از محیط موردنیاز است و از طرف دیگر نقشه مجموعه‌ای از مشخصه‌های محیط است که مختصات این مشخصه‌ها نسبت به ربات اندازه‌گیری شده است و درنتیجه دقت نقشه به دقت مکان‌یابی ربات بستگی دارد و افزایش دقت تخمین موضع، نقش بهسازی در بهبود دقت و کیفیت نقشه دارد.

¹ Kalman Filter (KF)

² Extended Kalman Filter (EKF)

³ Rao–Blackwellized Particle Filter (RBPF)

⁴ Unscented Kalman Filter (UKF)

⁵ FastSLAM (FS)

⁶ Unscented FastSLAM (UFS)

⁷ FastSLAM 2.0

$$\text{اولیه } (\alpha_{\text{init}}) \text{ به صورت زیر تعیین می‌شود:} \\ A = \{\alpha_i\} = \left\{ \alpha_{\text{init}} + k \frac{\pi}{180} \right\}; k = -15, -14, \dots, 14, 15 \quad (7)$$

با توجه به این که زاویه α_{init} یک زاویه تصادفی نیست و از رابطه (5) به دست آمده، برای جستجوی دقیق‌تر زاویه یک بازه 30 درجه‌ای، از 15 درجه قبل از زاویه α_{init} تا 15 درجه بعد از α_{init} ، کافی و مناسب است. زوایای آزمایشی در این بازه با اختلاف 1 درجه تعیین شده و مورد بررسی قرار می‌گیرند.

۲- محاسبه و اعمال دوران α_i به پویش جدید اعمال دورانی معادل هر زاویه α_i از مجموعه زوایای A به پویش جدید مطابق زیر صورت می‌گیرد:

$$R_{\alpha_i} = \begin{bmatrix} \cos \alpha_i & -\sin \alpha_i \\ \sin \alpha_i & \cos \alpha_i \end{bmatrix} \quad (8)$$

$$Z'_{\text{new}} = R_{\alpha_i} Z_{\text{new}} \quad (9)$$

۳- تطابق پویش جدید دوران یافته (Z'_{new}) با پویش مبنا و استخراج نقاط متناظر

گام بعدی جستجوی نقاط متناظر بین پویش مبنا و پویش جدید (Z'_{new}) است که براساس معیار نزدیک‌ترین فاصله انجام می‌شود. ابتدا برای هر نقطه از پویش جدید، نزدیک‌ترین نقطه از پویش مبنا جستجو می‌شود و فاصله آن-ها محاسبه می‌گردد. این امکان وجود دارد که برای چندین نقطه از پویش جدید، یک نقطه از پویش مبنا یافت شود که در این صورت تنها جفت نقطه‌ای که کمترین فاصله را دارد حفظ شده و بقیه حذف می‌شوند. همچنین جفت نقطه‌هایی که فاصله آن‌ها بیشتر از حد مجاز، d_{max} باشد، حذف می‌شوند و در نهایت ماتریس مطابقت² (CM) مطابق زیر تشکیل می‌گردد:

$$CM = \begin{bmatrix} m_1 & n_1 & d_1 \\ \vdots & \vdots & \vdots \\ m_K & n_K & d_K \end{bmatrix} \quad (10)$$

هر سطر این ماتریس مربوط به یک تناظر بین پویش جدید و پویش مبنا است، یعنی نقطه m_i از Z_{ref} متناظر با نقطه n_i از Z_{new} است و d_i فاصله میان این دو نقطه است.

به منظور راحتی در نوشتن ماتریس مطابقت به فرم ستونی زیر بازنویسی می‌شود:

$$CM = [M_{\text{ref}} \ N_{\text{new}} \ d]_{K \times 3} \quad (11)$$

۴- محاسبه انتقال با استفاده از نقاط متناظر و اعمال انتقال به پویش جدید (Z'_{new})

بعد از اعمال دوران α_i ، با محاسبه تفاضل میانگین پویش مبنا و پویش جدید دوران یافته، مناسب‌ترین بردار انتقال T_i تعیین می‌شود:

$$T_i = \text{mean}(Z_{\text{ref}}(M_{\text{ref}})) - \text{mean}(Z_{\text{new}}(N_{\text{new}})) \quad (12)$$

تابع mean برای محاسبه نقطه میانگین مجموعه نقاط یک پویش به کار می‌رود.

سپس پویش جدید انتقال یافته، Z''_{new} از رابطه (13) به دست می‌آید:

$$Z''_{\text{new}} = Z'_{\text{new}} + T_i \quad (13)$$

۵- تطابق پویش جدید دوران و انتقال یافته با پویش مبنا و استخراج نقاط متناظر

در این مرحله، ماتریس تطابق جدید مطابق مرحله 3 تشکیل می‌شود.

در این الگوریتم اطلاعات دو پویش لیزر¹ متوالی که در دستگاه مختصات کارتزین محلی ربات بیان شده‌اند با هم مقایسه می‌شوند. نزدیک‌ترین نقاط متناظر از دو پویش که فاصله آن‌ها از یک مقدار ثابت (براساس دقت زاویه و برد هسگر) کمتر باشد، به صورت دو مجموعه نقاط متناظر از دو پویش ذخیره می‌شوند. سپس نقاط ذخیره شده پویش جدید، مکررا مورد انتقال‌های خطی و چرخشی قرار می‌گیرند و بعد از هر انتقال مجموعه نقاط متناظر باز محاسبه می‌شود و این چرخه تا زمانی که خطای اطباق به مقادیر قابل قبولی برسد و با تعداد تکرارها از حدی بیشتر شود، ادامه می‌یابد. در نهایت انتقال به دست آمده که بهترین اطباق میان دو پویش را نتیجه می‌دهد، جابجایی از موضع مبنی به موضع جدید را نشان می‌دهد. با اعمال این انتقال به موضع مبنی، موضع جدید با دقت خوبی به دست می‌آید. در اکثر موارد برای کاهش تکرارهای مورد نیاز، جابجایی به دست آمده از مدل حرکت به عنوان اولین انتقال مورد استفاده قرار می‌گیرد.

الگوریتم تکرارشونده نزدیک‌ترین نقطه در این مقاله مطابق مراحل زیر انجام می‌شود:

۱- تعیین ورودی‌های الگوریتم
ورودی‌های الگوریتم عبارتند از دو پویش متوالی پویش مبنا و پویش جدید و همچنین انتقال اولیه.

پویش مبنا (Z_{ref}) و پویش جدید (Z_{new}) که به ترتیب در زمان‌های t و $t+1$ به دست آمده و نسبت به دستگاه مختصات کارتزین محلی ربات بیان می‌شوند:

$$Z_{\text{ref}} = \begin{bmatrix} x_1^{\text{ref}} & x_2^{\text{ref}} & \dots & x_K^{\text{ref}} \\ y_1^{\text{ref}} & y_2^{\text{ref}} & \dots & y_K^{\text{ref}} \end{bmatrix} \quad (1)$$

$$Z_{\text{new}} = \begin{bmatrix} x_1^{\text{new}} & x_2^{\text{new}} & \dots & x_L^{\text{new}} \\ y_1^{\text{new}} & y_2^{\text{new}} & \dots & y_L^{\text{new}} \end{bmatrix} \quad (2)$$

که در اینجا هر جفت $[x_i \ y_i]$ موقعیت یک نقطه از محيط در دستگاه مختصات کارتزین محلی ربات است. K تعداد نقاط مربوط به پویش مبنا و L تعداد نقاط پویش جدید است. تفاوت این دو عدد مشکلی در الگوریتم ایجاد نمی‌کند، چرا که الگوریتم تنها با جفت نقاط متناظر سروکار دارد.

بردار انتقال اولیه از تقابل موضع مبنا و موضع جدید محاسبه می‌شود. از آن‌جا که موضع ربات در زمان $t-1$ در مرحله قبل اصلاح شده است، به عنوان موضع مبنا (X_{ref}) و موضع ربات در زمان t به عنوان موضع جدید (X_{new}) خوانده می‌شوند:

$$X_{\text{ref}} = [x_{\text{ref}}, y_{\text{ref}}, \theta_{\text{ref}}]^T \quad (3)$$

$$X_{\text{new}} = [x_{\text{new}}, y_{\text{new}}, \theta_{\text{new}}]^T \quad (4)$$

که در این رابطه x, y موقعیت ربات و θ جهت‌گیری ربات است. با توجه به دو بعدی بودن مسئله، انتقال نیز همانند موضع، شامل یک زاویه دوران α و یک بردار جابجایی $[x, y] = T$ است که از روابط زیر محاسبه می‌گردد:

$$\alpha_{\text{init}} = \theta_{\text{new}} - \theta_{\text{ref}} \quad (5)$$

$$T_{\text{init}} = [x_{\text{init}}, y_{\text{init}}] = [x_{\text{new}} - x_{\text{ref}}, y_{\text{new}} - y_{\text{ref}}] \quad (6)$$

در این الگوریتم تنها از دوران اولیه α_{init} استفاده شده و T_{init} در مرحله بعد با استفاده از همین دوران محاسبه می‌شود، لذا تنها α_{init} به عنوان انتقال اولیه به الگوریتم وارد می‌شود. مجموعه زوایای دوران آزمایشی حول زاویه دوران

¹ Laser Scan

یکی از متداول‌ترین روش‌های ارتباط داده، روش بیشترین احتمال است. در این روش ابتدا ویژگی‌های نقشه که در مختصات جهانی ذخیره شده‌اند، در دستگاه کارتنین محلی ربات در زمان t بیان می‌شوند تا قابل مقایسه با مشاهده‌های جدید باشند. سپس برای هر ویژگی از پویش Z_{new} شبیه‌ترین ویژگی نقشه را جستجو کرده و چنانچه اختلاف این دو ویژگی کمتر از آستانه پذیرش تناظر و مقدار تابع احتمال قابل قبول باشد، متناظر شناخته می‌شوند و اگر مقدار تابع احتمال بالاتر از آستانه رد تناظر باشد، به عنوان یک ویژگی جدید ثبت می‌شود.

برای پیاده‌سازی این روش معمولاً از کد نوشته شده توسط بیلی [17] استفاده می‌شود که برای یافتن ویژگی متناظر احتمالی با هر مشاهده، فاصله تمام ویژگی‌های نقشه با آن مشاهده را محاسبه کرده و نزدیک‌ترین فاصله را ذخیره می‌کند و سپس تابع احتمال را محاسبه کرده و براساس مقدار آن ویژگی را به عنوان شناخته‌شده، جدید و یا نامعلوم طبقه‌بندی می‌کند. مشکل این روش این است که محاسبه فاصله تعداد زیادی زوج ویژگی مشاهده و نقشه، بسیار زمان بر است. به طور مثال فرض کنید که تعداد 300 ویژگی در نقشه ذخیره شده باشند و در پویش جدید نیز 100 مشاهده ثبت شده باشد، چنانچه قرار باشد با این روش نزدیک‌ترین ویژگی متناظر با هر مشاهده پیدا شود، باید $300 \times 100 = 30000$ محاسبه فاصله انجام شود. از طرف دیگر به دلیل همین تعداد زیاد محاسبات، زمان قابل ملاحظه‌ای صرف مرحله ارتباط داده‌ها می‌شود. در واقع مرحله ارتباط داده‌ها، با اختلاف زیادی، زمان برترین مرحله از الگوریتم‌های نقشه‌برداری سریع و نقشه‌برداری سریع بدون ردیابی است.

در این تحقیق تلاش شده تا با انجام اصلاحاتی فرآیند ارتباط داده‌ها با دقیق مشابه ولی در زمانی کمتر و بدون تکرار بررسی شود. برای این منظور، برای بررسی نزدیک‌ترین فاصله، ابتدا از دستور `dsearchn` در نرم‌افزار متلب³ استفاده شده است که با مقایسه دو مجموعه نقاط دو بعدی، برای هر نقطه از مجموعه دوم، نزدیک‌ترین نقطه از مجموعه اول را یافته و فاصله آنها را نیز محاسبه می‌کند. نقاط مجموعه دوم غیرتکراری هستند ولی ممکن است برای چندین نقطه از این مجموعه، یک نقطه مشترک از مجموعه اول به عنوان نزدیک‌ترین نقطه یافته شود. در این صورت، جفت نقطه‌ی دارای کمترین فاصله حفظ شده، و بقیه حذف می‌گردند. سپس تابع احتمال برای تناظرهای باقی‌مانده محاسبه می‌شود و سایر مراحل مطابق پیاده‌سازی آقای بیلی انجام می‌شوند. متوسط زمان انجام هر مرحله ارتباط داده با این روش (در شرایط مشابه) 0.02 ثانیه است که در حدود 50 بار سریع‌تر از روش اول است.

الگوریتم ارتباط داده مورد استفاده در این مقاله دارای مراحل زیر است:

1- تعیین ورودی‌ها: ویژگی‌های ذخیره شده در نقشه، Z_{map} و پویش جدید، Z_{new}

2- جستجوی نزدیک‌ترین نقطه از ویژگی‌های نقشه برای هر نقطه از پویش جدید با استفاده از دستور `dsearchn`

$$[\text{corr}, \text{D}] = \text{dsearchn}(Z_{\text{map}}, \text{tri}, Z_{\text{new}}) \quad (18)$$

در این رابطه، $[\text{corr}, \text{D}]$ ماتریسی مشابه ماتریس CM در رابطه (10) است و هر سطر corr مربوط به اندیس یک جفت نقطه متناظر بین پویش جدید و نقشه و همان سطر از D فاصله بین دو نقطه است. همچنین tri با استفاده از دستور `delaunay` در نرم‌افزار متلب محاسبه می‌شود:

³ MATLAB

6- محاسبه و ذخیره خطای انتقال برای نقاط متناظر

برای ارزیابی دقت انتباط دو پویش در هر تکرار و برای هر a_i ، خطای تناظر که معادل مجموع فاصله‌های جفت نقطه‌های متناظر تقسیم بر تعداد آن- هاست محاسبه می‌شود:

$$\text{error}_i = \frac{1}{K} \sum_{j=1}^K d_j \quad (14)$$

7- تکرار الگوریتم برای کمینه کردن خطای

مراحل 2 تا 6 برای تمام مجموعه زوایای دوران آزمایشی α انجام شده و دوران و انتقالی که کمترین خطای داشته باشد، انتخاب می‌شود:

$$\text{T}_{\text{icp}} = \text{T}_j; \alpha_{\text{icp}} = \alpha_j \quad (15)$$

زاندیس کمترین خطای به دست آمده است و درنتیجه α_r و T_r مناسب‌ترین دوران و انتقال هستند.

8- محاسبه موضع اصلاح شده ربات موضع اصلاح شده از اعمال دوران و انتقال بهینه به موضع جدید ربات به دست می‌آید:

$$\text{R}_{\theta_{\text{new}}} = \begin{bmatrix} \cos\theta_{\text{new}} & -\sin\theta_{\text{new}} \\ \sin\theta_{\text{new}} & \cos\theta_{\text{new}} \end{bmatrix} \quad (16)$$

$$X'_{\text{new}} = \begin{bmatrix} [x_{\text{new}}, y_{\text{new}}]^T + \text{R}_{\theta_{\text{new}}} \text{T}_{\text{icp}} \\ \theta_{\text{new}} + \alpha_{\text{icp}} \end{bmatrix} \quad (17)$$

شبه کد الگوریتم انتباط پویشی بصورت زیر است:

ICP(Z_{ref} , Z_{new} , α_{init})

Generate sample A

$$A = \{\alpha_i\} = \left\{ \alpha_{\text{init}} + k \frac{\pi}{180} \right\}; k = -15, -14, \dots, 14, 15$$

for $\alpha_i \in A$ do

$$\text{R}_{\alpha_i} = \begin{bmatrix} \cos\alpha_i & -\sin\alpha_i \\ \sin\alpha_i & \cos\alpha_i \end{bmatrix}; Z'_{\text{new}} = \text{R}_{\alpha_i} Z_{\text{new}}$$

Calculate Correspondence Matrix

$$T_i = \text{mean}(Z_{\text{ref}}(M_{\text{ref}})) - \text{mean}(Z_{\text{new}}(N_{\text{new}}))$$

$$Z''_{\text{new}} = Z'_{\text{new}} + T_i$$

Recalculate Correspondence Matrix

$$\text{error}_i = \frac{1}{K} \sum_{j=1}^K d_j$$

endfor

$$j = \arg_i \min\{\{\text{error}_i\}, i\}$$

$$\text{T}_{\text{icp}} = \text{T}_j; \alpha_{\text{icp}} = \alpha_j$$

$$\text{R}_{\theta_{\text{new}}} = \begin{bmatrix} \cos\theta_{\text{new}} & -\sin\theta_{\text{new}} \\ \sin\theta_{\text{new}} & \cos\theta_{\text{new}} \end{bmatrix}$$

$$X'_{\text{new}} = \begin{bmatrix} [x_{\text{new}}, y_{\text{new}}]^T + \text{R}_{\theta_{\text{new}}} \text{T}_{\text{icp}} \\ \theta_{\text{new}} + \alpha_{\text{icp}} \end{bmatrix}$$

همان‌طور که در شبه کد نیز مشخص است پیچیدگی محاسباتی الگوریتم به تعداد زوایای مورد بررسی در مجموعه زوایای دوران آزمایشی بستگی دارد. لذا اگر تعداد این زوایا K باشد، پیچیدگی محاسباتی $O(K)$ است. بنابراین هر چه بازه زوایای مورد جستجو بزرگ‌تر و دقت بیشتر باشد، الگوریتم پیچیده‌تر و زمان برتر خواهد بود.

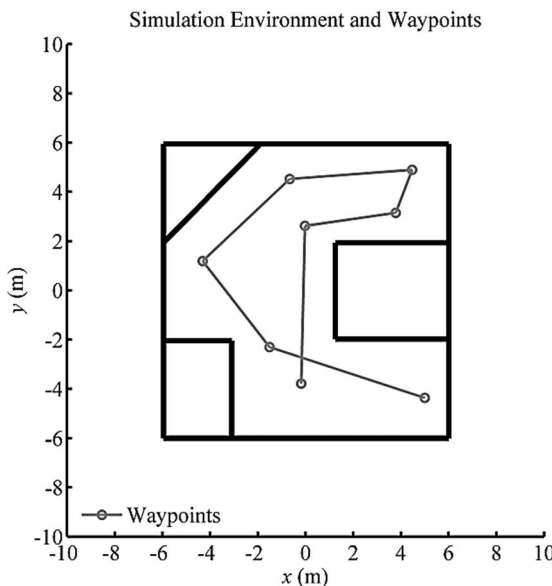
3- ارتباط داده‌ها¹ به روش بیشترین احتمال²

ارتباط داده‌ها فرآیند بررسی ارتباط میان ویژگی‌هایی که به تازگی مشاهده شده‌اند با ویژگی‌های ذخیره شده در نقشه است. تشخیص درست این که کدام ویژگی‌ها جدید هستند و کدام ویژگی‌ها قبلا مشاهده شده‌اند و این ویژگی‌های مشاهده شده با کدام ویژگی‌های نقشه متناظر هستند، برای روزرسانی موضع ربات و تهیه نقشه محیط ضروری است.

¹ Data Association
² Maximum Likelihood (ML)

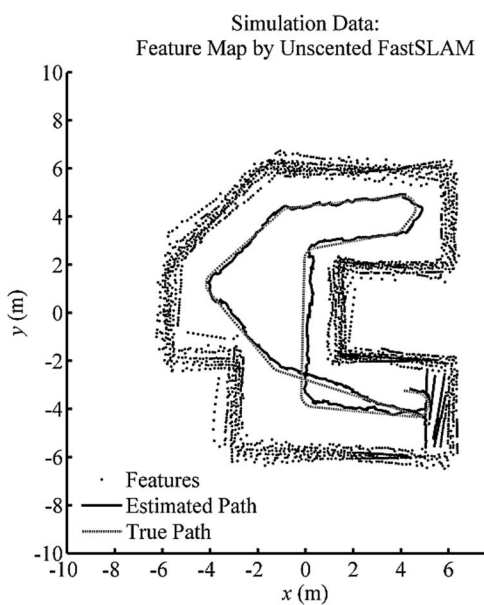
برای بررسی تاثیر انطباق پویشی روی الگوریتم نقشهبرداری سریع بدون ریدیابی، باید ابتدا الگوریتم نقشهبرداری سریع بدون ریدیابی اولیه مورد استفاده قرار گیرد. برای این منظور از کد نوشته شده توسط کیم با همان الگوریتم ارتباط داده اولیه استفاده شده و تنها پارامترهای آن تنظیم شده‌اند و قابلیت تولید نقشه شبکه‌بندی به آن اضافه شده است. "شکل 2" نقشه ویژگی مبنا به همراه مسیر واقعی و مسیر تخمین‌زده شده ربات و "شکل 3" نقشه شبکه‌بندی محیط را نشان می‌دهد.

به‌دلیل خطای تخمین مسیر، مرزها دارای خطأ بوده و زاویدار هستند. در برخی نواحی، خطای موضع به قدری زیاد بوده که موجب تکرار یک وجه از محیط در نقشه ویژگی مبنا و شبکه‌بندی شده است.



شکل 1 محیط و مسیر هدایت ربات شبیه‌سازی شده در نرم‌افزار متلب

شکل 1 محيط و مسیر هدایت ربات شبیه‌سازی شده در نرم‌افزار متلب



شکل 2 داده شبیه‌سازی: نقشه ویژگی مبنا، مسیر واقعی و مسیر تخمین‌زده شده

توسط الگوریتم نقشهبرداری سریع بدون ریدیابی اولیه

$$\text{tri} = \text{delaunay}(Z_{\text{map}}) \quad (19)$$

- 3- حذف نقاط تکراری از ویژگی‌های نقشه و حفظ نزدیک‌ترین نقطه
- 4- محاسبه احتمال ارتباط جفت نقطه و مقایسه با آستانه پذیرش و آستانه رد ویژگی
- 5- ذخیره نقطه‌ی پویش جدید به عنوان ویژگی جدید، ویژگی قدیمی و یا هیچ‌کدام

4- پیاده‌سازی و ارزیابی عملکرد الگوریتم نقشهبرداری سریع بدون ریدیابی با انطباق پویشی

در این مقاله مکان‌یابی و نقشهبرداری هم‌زمان از طریق اعمال الگوریتم‌های نقشهبرداری سریع بدون ریدیابی اولیه و نقشهبرداری سریع بدون ریدیابی با انطباق پویشی روی داده‌های به دست آمده از شبیه‌سازی و نیز داده‌های لیزر واقعی انجام شده است. کد الگوریتم نقشهبرداری سریع بدون ریدیابی در نرم‌افزار متلب توسط کیم نوشته شده [18] و به عنوان کد مبنا در این مقاله مورد استفاده قرار گرفته و تغییرات لازم متناسب با شرایط مسئله روی آن اعمال شده است. برخی از مهم‌ترین این تغییرات عبارتند از:

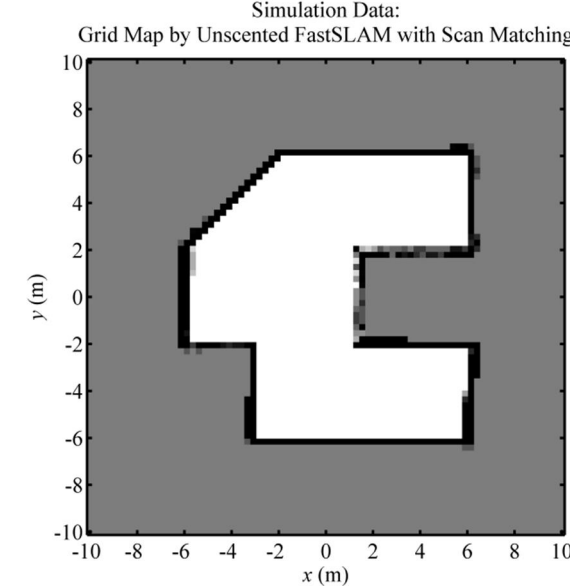
- افزودن انطباق پویشی
- بهبود سرعت الگوریتم ارتباط داده‌ها
- تولید نقشه شبکه‌بندی محیط
- بهینه‌سازی مقدار متغیرهای الگوریتم از جمله آستانه پذیرش و رد ویژگی

خروجی‌های این الگوریتم‌ها عبارتند از: نقشه شبکه‌بندی محیط، نقشه ویژگی مبنا به همراه مسیر واقعی طی شده توسط ربات و مسیر تخمین‌زده شده توسط الگوریتم‌ها، و نیز میانگین خطای موقعیت و جهت‌گیری تخمین‌زده شده نسبت به موقعیت و جهت‌گیری واقعی ربات که در یک جدول بیان شده‌اند. همچنین برای بررسی کل الگوریتم و زمان اجرای مراحل ارتباط داده‌ها و انطباق پویشی به صورت جدول ارائه شده است.

4-1- پیاده‌سازی و ارزیابی الگوریتم نقشهبرداری سریع بدون ریدیابی با انطباق پویشی روی داده لیزر به دست آمده از شبیه‌سازی

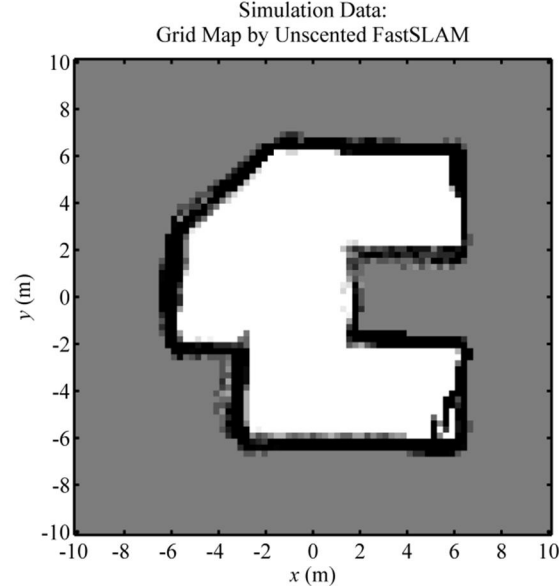
در این مرحله، محیط پیرامون ربات مطابق "شکل 1" شبیه‌سازی شده و نقاطی به عنوان راهنمای مسیر در آن تعییه شده‌اند که ربات با دنبال کردن این نقاط در محیط حرکت می‌کند و اطلاعات سرعت هر لحظه ربات از استفاده در مدل حرکت ثابت می‌شود. خطای کنترل سرعت ۰.۱ متر بر ثانیه و خطای کنترل جهت ربات ۱ درجه در ثانیه فرض شده‌اند. در این مرحله الگوریتم ر روی داده لیزر اعمال می‌شود که توسط حسگر پویشگر لیزری شبیه‌سازی شده به دست آید. برای این حسگر ۶ متر، میدان دید آن ۱۸۰ درجه و رزولوشن زاویه‌ای آن برابر ۱ درجه شبیه‌سازی شده است. همچنین نویز اندازه‌گیری آن به ترتیب ۰.۰۳ متر و ۰.۰۳ درجه در نظر گرفته شده‌اند. از نظر زمان‌بندی، ارسال فرمان کنترل سرعت به ربات و پویش محیط هم‌زمان با هم و ۰.۱ ثانیه صورت می‌گیرند. پس از ذخیره اطلاعات حرکت ربات و اطلاعات به دست آمده از حسگر شبیه‌سازی شده، در مرحله بعد این اطلاعات به صورت ورودی به الگوریتم داده شده و مورد پردازش برآورده شده قرار می‌گیرند.

4-1-1- عملکرد الگوریتم نقشهبرداری سریع بدون ریدیابی اولیه



شکل ۵ داده شبیه‌سازی: نقشه شبکه‌بندی توسط الگوریتم نقشه‌برداری سریع بدون ریدیابی با انطباق پویشی

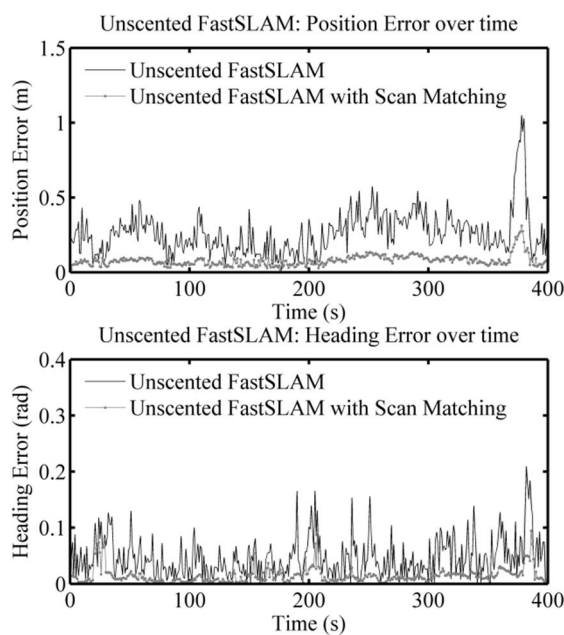
شکل ۵ داده شبیه‌سازی: نقشه شبکه‌بندی توسط الگوریتم نقشه‌برداری سریع بدون ریدیابی با انطباق پویشی



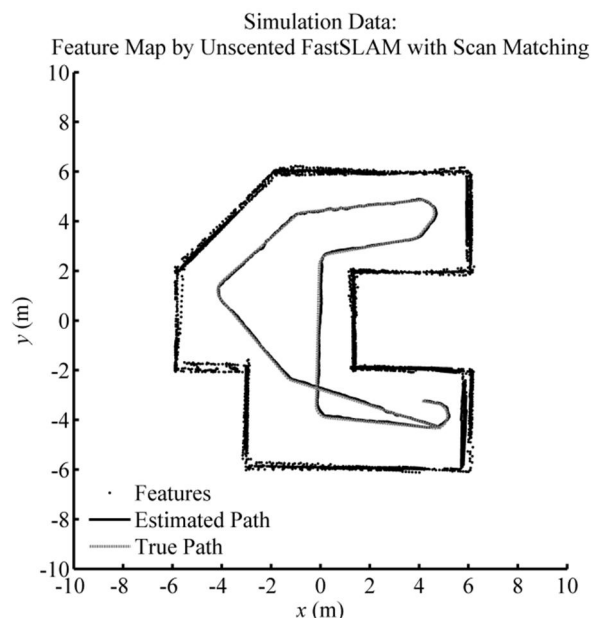
شکل ۳ داده شبیه‌سازی: نقشه شبکه‌بندی توسط الگوریتم نقشه‌برداری سریع بدون ریدیابی اولیه

"شکل ۶" خطای موقعیت و جهت‌گیری در طول مسیر را برای هر دو الگوریتم نشان می‌دهد. مقدار خطای تخمین توسط نقشه‌برداری سریع بدون ریدیابی با انطباق پویشی در تمام گام‌ها کمتر از نقشه‌برداری سریع بدون ریدیابی اولیه است.

همچنین مقادیر میانگین خطای موقعیت و جهت‌گیری برای هر دو الگوریتم در جدول ۱ آورده شده‌اند. متوسط خطای موقعیت ۰.۲۶ متر و متوسط خطای جهت‌گیری ۰.۰۴۶ رادیان است. مقایسه میانگین خطای این الگوریتم با روش قبل نشان می‌دهد که انطباق پویشی، تخمین موقعیت و



شکل ۶ خطای تخمین موقعیت و جهت‌گیری در طول زمان



شکل ۴ داده شبیه‌سازی: نقشه ویژگی‌منا، مسیر واقعی و مسیر تخمین‌زده شده توسط الگوریتم نقشه‌برداری سریع بدون ریدیابی با انطباق پویشی

۴-۱-۲- عملکرد الگوریتم نقشه‌برداری سریع بدون ریدیابی با انطباق پویشی در این مرحله الگوریتم نقشه‌برداری سریع بدون ریدیابی با انطباق پویشی روی داده لیزر حاصل از محیط شبیه‌سازی اعمال شد. نقشه‌های ویژگی‌منا و شبکه‌بندی به دست آمده به ترتیب در "شکل ۴" و "شکل ۵" آورده شده‌اند. همان‌طور که در "شکل‌های ۴ و ۵" مشخص است، دقت تخمین مسیر بیشتر شده و مسیر تخمین‌زده شده در الگوریتم دوم بسیار به مسیر واقعی نزدیک‌تر است. به همین دلیل نقشه‌های ویژگی‌منا و شبکه‌بندی دقیق‌تر با مرازهای باریک‌تر به دست آمده است.

بین زمان داده کنترل حرکت و داده لیزر وجود ندارد. بنابراین در هر گام، با مقایسه زمان متناظر با آن موضع و زمان متناظر با پویش‌های لیزر، نزدیک‌ترین پویش از نظر زمانی انتخاب و پردازش می‌شود. بدليل آن که بازه‌های زمانی بسیار کوچک هستند، اختلاف بین زمان حرکت و زمان پویش در حدود ۰.۱ ثانیه و قابل چشم‌پوشی است.

در این مرحله نتایج نقشهبرداری سریع بدون ریدیابی با انطباق پویشی با نقشهبرداری سریع بدون ریدیابی اولیه از نظر دقیق نقشه و زمان اجرا مقایسه می‌شود. متغیرهای الگوریتم مناسب با شرایط آزمایش تنظیم شده‌اند.

4-2-4- پیاده‌سازی الگوریتم نقشه‌برداری سریع بدون ریدیابی اولیه روی داده لبز، به دست آمده از آزمایش عمل.

مشابه قسمت قبل، ابتدا عملکرد نقشهبرداری سریع بدون ریدایی اولیه روی داده لیزر واقعی بررسی می‌شود. نقشه‌های ویژگی مبنا و شبکه‌بندی به دست آمده به ترتیب در "شکل 7" و "شکل 8" نشان داده شده‌اند. بدليل آنکه مسیر واقعی ریات در اختیار نبوده، امكان مقایسه مسیر تخمین زده با مسیر وجود ندارد؛ بنابراین ارزیابی عملکرد الگوریتم از طریق کیفیت نقشه واقعی می‌گیرد.

همان طور که در "شکل‌های 7 و 8" مشخص است، مرزها و موانع در حد قابل قبولی در نقشه‌های ویژگی مبنا و شبکه‌بندی نشان داده شده‌اند. اما به دلیل خطأ در تخمین مسیر، مرزها چندان باریک نیستند و حتی گوشه بالای آتاق دوبار تکرار شده است. بیرون‌زدگی‌های موجود در نقشه، در اثر دره‌ای باز یجاد شده‌اند ولی چندان واضح نشان نشده‌اند.

۴-۲-۲- پیاده‌سازی الگوریتم نقشه‌برداری سریع بدون ردیابی با انتبارق به نیش، داده لین، به دست آمده از آزمایش عمل.

پس از اجرای الگویریتم نقشه برداری سریع بدون ریدایی با انطباق پویشی، نقشه های ویژگی مبنا و شبکه بندی به دست آمدند که در "شکل 9" و "شکل 10" نشان داده شده اند. مقایسه این نقشه ها با نتایج قسمت نشان

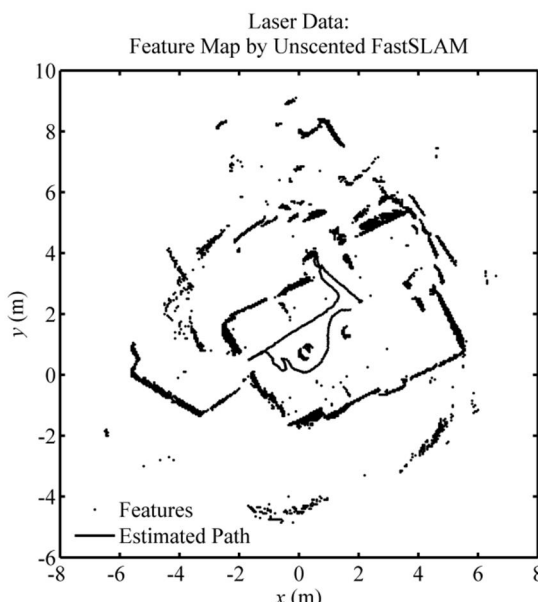


Fig. 7 Experimental Data: Feature map and estimated path by Unscented EastSLAM

شكل 7 داده آزمایشگاهی: نقشه ویژگی مبنا و مسیر تخمین‌زده شده توسط الگوریتم نقشه‌برداری، سیمین بدنون، دیدار، اولیه

جدول 1 متوسط خطای تخمین موقعیت و جهتگیری در الگوریتم‌های نقشهبرداری سریع بدون ردیابی اولیه و نقشهبرداری سریع بدون ردیابی با انطباق پویشی

Table 1 Average position and heading estimation

نقشه برداری سریع بدون ردیابی بدون انطباق پویشی	نقشه برداری سریع بدون ردیابی با انطباق پویشی	متوسط خطای موقعیت
0.078	0.260	خطای موقعیت نرمالیزه
0.020	0.066	متوسط خطای جهت گیری
0.014	0.046	خطای جهت گیری نرمالیزه
0.009	0.029	

جهت‌گیری را به ترتیب 70% و 68% بپیواده و درنتیجه نقشه دقیق تری ارایه می‌دهد. لازم به ذکر است خطای نرم‌الزیزه از تقسیم مقدار خطا بر مقدار میانگین به دست می‌آید.

در جدول 2 زمان اجرای الگوریتم‌های نقشهبرداری سریع بدون ریدیابی برای داده شبیه‌سازی آورده شده است. زمان اجرای الگوریتم نقشهبرداری سریع بدون ریدیابی اولیه برای 100 پویش 236 ثانیه است که 219 ثانیه (%) از آن مربوط به مرحله ارتباط داده‌ها است. همین درصد قابل توجه انگیزه‌بخش تلاش برای بهبود سرعت ارتباط داده‌ها در این مقاله بوده است. مدت زمان ارتباط داده‌ها در الگوریتم نقشهبرداری سریع بدون ریدیابی ارایه شده در این مقاله تنها 4 ثانیه است که 54 بار سریع‌تر است. درنتیجه با وجود اضافه کردن انطباق پویشی، نقشهبرداری سریع بدون ریدیابی ارایه شده در این مقاله، 3 بار سریع‌تر از نقشهبرداری سریع بدون ریدیابی اولیه است.

۲-۴- پیاده‌سازی الگوریتم نقشه‌برداری سریع بدون ردیابی روی داده

برای بررسی عملکرد الگوریتم نقشه‌بنداری سریع بدون ریدیاپی با انتساب پویشی در شرایط واقعی، آزمایش عملی نیز انجام شد. در این آزمایش ریات مجهر به پویشگر لیزری و انکودر در یک محیط بسته به صورت دستی حرکت داده شد و مجموعه اطلاعات شامل دور چرخ‌های چپ و راست به دست آمده از حسگر انکودر و داده لیزر به دست آمده از پویشگر لیزری در محیط دانشگاه صنعتی اصفهان و به کمک رباتی که در همین دانشگاه ساخته شده به دست آمده است.

پویشگر لیزری مورد استفاده در این آزمایش دارای برد 6 متر، میدان دید 180 درجه و رزولوشن 0.3 درجه است. نویز اندازه‌گیری این مدل پویشگر 0.03 متر و 1 درجه است. مدت انجام آزمایش 120 ثانیه بوده و به طور تقریبی در هر ثانیه 10 پویش لیزر و 29 دور چرخ چپ و راست ضبط شده است. از تعداد دور چرخ چپ و راست برای محاسبه مقدار و جهت سرعت ریات استفاده می‌شود. ریات به صورت دستی حرکت داده شده و همانگی خاصی

جدول 2 داده شبیه‌سازی: زمان اجرای الگوریتم نقشه‌برداری سریع بدون ردیابی برای صد پویش

Table 2 Simulation data: Execution time of Unscented FastSLAM for 100 scans

زمان کل الگوریتم [ثانیه]	نقشه برداری سریع بدون ردیابی با انطباق پویشی	نقشه برداری سریع بدون ردیابی بدون انطباق پویشی
75	236	
58	0	
4	219	

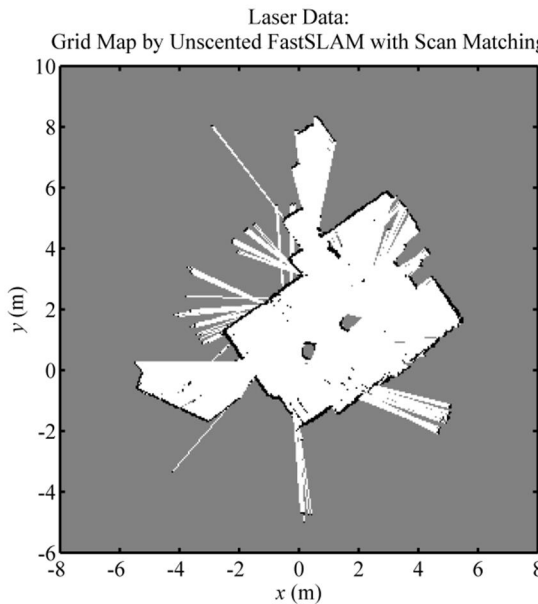


Fig. 10 Experimental Data: Grid map by Unscented FastSLAM with scan matching

شکل 10 داده آزمایشگاهی: نقشه شبکه‌بندی توسط الگوریتم نقشهبرداری سریع بدون ریدیابی با انطباق پویشی

جدول 3 داده آزمایشگاهی: زمان اجرای الگوریتم نقشهبرداری سریع بدون ریدیابی برای صد پویش

Table 3 Experimental data: Execution time of Unscented FastSLAM for 100 scans

نقشهبرداری سریع بدون ریدیابی با انطباق پویشی	نقشهبرداری سریع بدون ریدیابی بدون انطباق پویشی	زمان کل الگوریتم [ثانیه]
93	385	68
6	0	6
		343

نقشهبرداری سریع بدون ریدیابی ارایه شده در این مقاله تنها 6 ثانیه و 57 بار سریع‌تر است. بنابراین با وجود اضافه کردن انطباق پویشی، نقشهبرداری سریع بدون ریدیابی ارایه شده در این مقاله، 4 بار سریع‌تر از نقشهبرداری سریع بدون ریدیابی اولیه است.

5-نتیجه‌گیری و پیشنهادات

در این مقاله برای اولین بار از ترکیب الگوریتم نقشهبرداری سریع بدون ریدیابی با انطباق پویشی استفاده شد و سرعت مرحله ارتباط داده به میزان قابل ملاحظه‌ای بهبود یافت. سپس نقشهبرداری سریع بدون ریدیابی با انطباق پویشی روی داده لیزر به دست آمده از شبیه‌سازی و داده لیزر واقعی پیاده‌سازی شد و نتایج آن با نتایج نقشهبرداری سریع بدون ریدیابی اولیه مقایسه شدند. نتایج مقایسه نشان داد که با افزودن یک مرحله انطباق پویشی به الگوریتم، دقت تخمین مسیر و نقشه به مقدار قابل ملاحظه‌ای بهبود می‌یابند. مقدار کاهش خطای تخمین موضع در شبیه‌سازی 66% است و در آزمایش عملی به دلیل در دست نداشتن مسیر واقعی قابل اندازه‌گیری نیست. همچنین مشکل زمان بر بودن مرحله ارتباط داده‌ها، با طراحی بهتر حلقه و استفاده از دستورهای مناسب‌تر برطرف شد. ارتباط داده‌ها در حدود 50 بار سریع‌تر از قبل شده و زمان کل الگوریتم جدید در شبیه‌سازی 68% و در

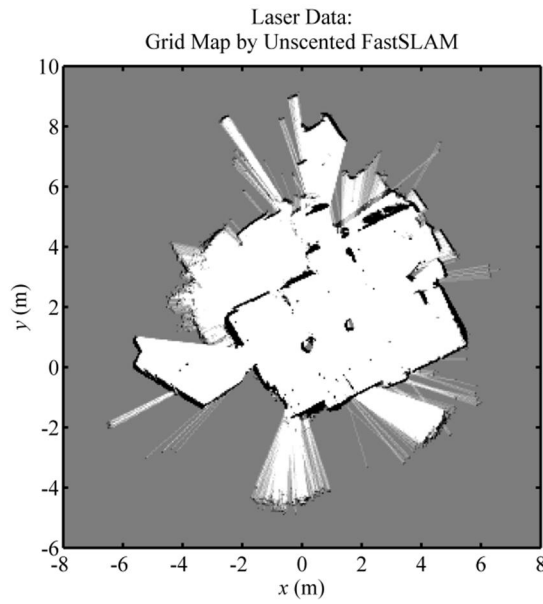


Fig. 8 داده آزمایشگاهی: نقشه شبکه‌بندی توسط الگوریتم نقشهبرداری سریع بدون ریدیابی اولیه

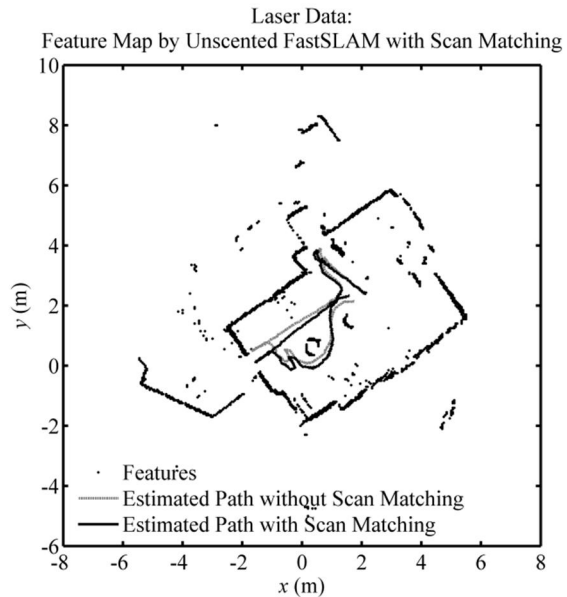


Fig. 9 داده آزمایشگاهی: نقشه ویژگی‌منا، مسیر تخمین زده شده توسط هردو الگوریتم نقشهبرداری سریع بدون ریدیابی

می‌دهد که انطباق پویشی باعث شده مرازها با دقت بیشتر و باریک‌تر از قبل ترسیم شوند. موانع نیز کامل‌تر از قبل در نقشه ظاهر شده‌اند. در "شکل 9" علاوه بر نقشه ویژگی‌منا و مسیر تخمین‌زده شده توسط هر دو الگوریتم نشان داده شده است.

همچنین در جدول 3 زمان پیاده‌سازی الگوریتم‌های نقشهبرداری سریع بدون ریدیابی روی داده لیزر واقعی و برای 100 پویش آورده شده است. در نقشهبرداری سریع بدون ریدیابی اولیه، 89% از زمان کل الگوریتم مربوط به مرحله ارتباط داده‌ها است، در حالی که این مدت زمان در الگوریتم

آزمایش واقعی 75٪ کمتر از الگوریتم اولیه است.

6- تقدیر و تشکر

در اینجا لازم است از آزمایشگاه رباتیک و مکاترونیک پیشرفتی دانشکده مهندسی مکانیک دانشگاه صنعتی اصفهان و جناب آقای مهندس مرتضی بدالی به سبب همکاری بی دریغ در تهیه امکانات و محیط مورد نیاز تقدیر و تشکر شود.

7- مراجع

- [1] R. Chatila, J. P. Laumond, Position referencing and consistent world modeling for mobile robots, *Proceeding of IEEE International Conference on Robotics and Automation*, Silver Spring, USA: IEEE, pp. 138-145, 1985.
- [2] C. G. Harris, J. Pike, 3D positional integration from image sequences, *Image and Vision Computing*, Vol. 6, No. 2, pp. 87-90, 1988.
- [3] R. Smith, M. Self, P. Cheeseman, *Estimating Uncertain Spatial Relationships in Robotics*, pp. 167-193, New York: Springer, 1990.
- [4] A. Doucet, N. De Freitas, K. Murphy, S. Russell, Rao-Blackwellised particle filtering for dynamic Bayesian networks, *Proceeding of the Sixteenth Conference on Uncertainty in Artificial Intelligence*, San Francisco, USA: Morgan Kaufmann Publishers, pp. 176-183, 2000.
- [5] R. Martinez-Cantin, J. Castellanos, Unscented SLAM for large-scale outdoor environments, *Proceeding of IEEE/RSJ International Conference on Intelligent Robots and Systems*, Edmonton, Canada: IEEE, pp. 3427-3432, 2005.
- [6] M. Montemerlo, S. Thrun, D. Koller, B. Wegbreit, FastSLAM: A factored solution to the simultaneous localization and mapping problem, *Proceeding of the AAAI National Conference on Artificial Intelligence*, Edmonton, Canada: AAAI, pp. 593-598, 2002.
- [7] C. Kim, R. Sakthivel, W. K. Chung, Unscented FastSLAM: a robust and efficient solution to the SLAM problem, *IEEE Transactions on Robotics*, Vol. 24, No. 4, pp. 808-820, 2008.
- [8] Z. Kurt-Yavuz, S. Yavuz, A comparison of EKF, UKF,